

# 표면처리에 따른 평기어 치의 표면거칠기 변화에 관한 연구

유장열\*, 이성철\*, 권오관\*, 정태형\*\*

( A Study on the Surface Roughness Variation of Spur Gear Teeth by the Surface Treatment)

Jang Yeol Yoo, Sung Chul Lee, Oh Kwan Kwon, Tae Hyong Chong

\* KIST 기전연구부  
\*\* 한양대학교

## 1. 서론

기어는 기계시스템에서 동력전달 및 운동전환을 담당하는 기본 요소로 공작기계, 건설기계, 농업기계 등의 산업기계와 항공기, 자동차, 선박 등의 운송분야, 사무용 및 계측기기 등 산업전반에 걸쳐 사용되고 있으며, 최근에는 로봇틀 위시한 자동화 장치의 구동 및 동력전달 장치로 사용되고 있다.

최근의 기어시스템은 기계계의 일반적인 경향인 고속, 고부하, 경량화 추세에 따라 고정밀, 소형화되어 가고 있으며 부하한계에 가깝도록 큰 하중에 견딜것이 요구되고 있다. 따라서 기어의 설계 및 제작시, 여유있는 설계가 허용되지 않으며 정밀성을 높이기 위한 설계로, 설계인자의 세분화가 요구되어지고 있다. 국제적으로 통용되고 있는 강도설계 규격에서 변압강도시 표면상태계수(Surface condition factor)를 정의하고 있다.<sup>1)</sup> 표면상태계수는 가공에 의한 표면 마무리정도, 잔류응력, 가공경화 등의 효과가 변압강도에 미치는 영향을 고려하기 위한 것이다, 아직 구체적인 산정방법은 제시되지 않고 있다. 이들중 표면거칠기가 스코어링(scoring) 강도 및 치면 강도등에 미치는 영향에 대한 연구가 활발히 진행되고 있으나, 아직 구체적으로 정립되지 않고 있다.<sup>(2)(3)</sup>

본 연구에서는 동력순환식 기어 시험장치를 이용하여 표면처리 상태가 다른 3종류(열처리된 하지않은 기어, 침탄 및 고주파 표면 열처리한 기어)의 스퍼어 기어를 이용하여 회전수별 표면거칠기의 변화 상태를 고찰하고, 변수를 응용하여 물리적 의미를 파악하고, 유효해석을 통한 윤활조건과 치면상태와의 상호 관계에 대하여 고찰해 보고자 한다.

## 2. 표면거칠기의 이론

### 2-1 표면거칠기 변수와 응용

표면거칠기의 변수는 측정기의 하드웨어상 고정되어 있으므로 측정치를 이용하여 물리적 변수를 구한다. 본 연구에서는 물리적 변수로 Ra, Rms와 Skewness 값을 사용하였으며, 표면돌기의 변화를 관찰하기 위하여 표면거칠기 신호로부터 기울기를 구해서 돌기의 갯수, 평균폭과 높이를 추정하였다. 사용한 변수와 그 물리적 의미는 다음과 같다.

- (1) Ra : 중심선으로 부터 평균적으로 떨어진 거리
- (2) Rms/Ra : 돌기 또는 골짜기의 형상을 알수 있게 하는 변수로 표면함수의 형태가 주어지면 결정된다.
- (3) Relative Skewness : 돌기와 골짜기간의 상대적인 비대칭도를 나타내는 변수.
- (4) 돌기 평균폭 및 평균높이 : 돌기를 모델화 하는데 필요한 값을 제공하는 변수

\* 변수의 계산식 \*

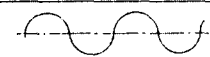
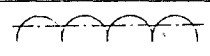
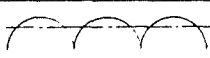
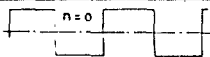
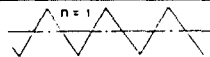
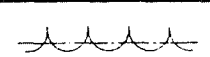
$$\begin{aligned}
 (X_c = \text{Center line} &= \sum_{i=1}^N X(i)/N) \\
 \cdot Ra &= \sum_{i=1}^N |X(i) - X_c|/N \\
 \cdot Rms &= \left( \sum_{i=1}^N (X(i) - X_c)^2 / N \right)^{1/2} = \text{Variance}^{1/2} \\
 \cdot \text{Variance} &= \sum_{i=1}^N (X(i) - X_c)^2 / N \\
 \cdot \text{Skewness} &= \sum_{i=1}^N (X(i) - X_c)^3 / N
 \end{aligned}$$

• 돌기의 갯수, 평균폭과 평균높이  
• 돌기를 인식하여 그 갯수와 평균폭 및 평균높이를 구함.

### 2-2 표면형상의 모델링(modelling)

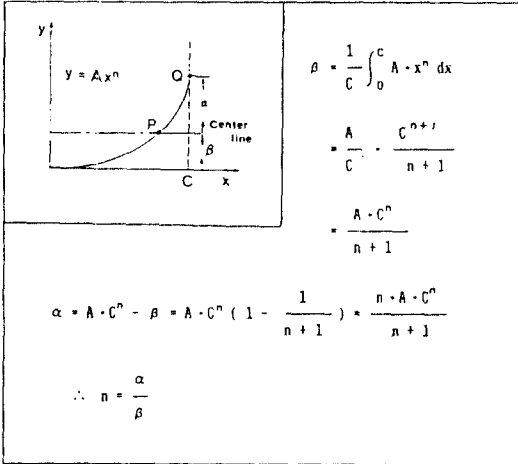
표면의 상태는 돌기와 골에 의해서 결정되고 상대운동시 영향을 미치는 요소는 매우 복잡하지만 기본파형의 조합으로 간주할 수 있다.

Table 1 Rms/Ra and Relative Skewness Value of Waviness

Waviness		Rms/Ra	R · S*
Trigonometric Wave I		1.111	0
Trigonometric Wave II		1.148	-0.497
Circular Wave		1.231	-1.154
Polynomial		1.000	0
		1.155	0
y = A(X+B) <sup>n</sup> (A, B : 상수)		n ≥ 2	
	n	Rms/Ra	R · S
	2	1.162	0.639
	3	1.200	1.055
	4	1.247	1.385
	5	1.295	1.658
	6	1.343	1.898
	7	1.391	2.113
8	1.437	2.309	

표면거칠기를 기본파형과 비교하기 위하여 기본 파형에 대한 물리적 변수를 계산한 것이 Table 1에 제시되어 있다.

Rms/Ra 값으로 부터 얻어진 표면함수 n 값을 이용한 2차원적 표면형상의 모델링(modelling)을 polynomial 파형을 예로, 수식적 해석방향을 제안한다. 이 방법은 돌기와 골의 형상을 유추하는데 사용할 수 있다.



- (1)  $Y = A \cdot x^n$ 에서 n을 선택하면 높이의 비 (Height Ratio)는 n이 된다. (A: 상수)
- (2) 돌기 평균높이 h가  $\alpha$ 에 해당하므로

$$\alpha = h, \quad \beta = \frac{h}{n} \text{로 결정된다.}$$

- (3) 돌기 평균폭이 w이므로 p점의 좌표는

$$\left(C - \frac{w}{2}, \beta\right), Q\text{점의 좌표는}(C, \alpha + \beta)\text{이다.}$$

이 두점을  $y = A \cdot x^n$ 에 대입하면,

$$\alpha + \beta = A \cdot C^n \dots\dots\dots (가)$$

$$\beta = A \cdot \left(C - \frac{w}{2}\right)^n \dots\dots\dots (나)$$

(가)식으로 부터  $A = \frac{\alpha + \beta}{C^n}$  이고 이 값을

(나)식에 대입하면  $\beta = (\alpha + \beta) \cdot \left(1 - \frac{w}{2C}\right)^n$  된다. 이 식에서 C와 A를 구하면

$$\frac{w}{2C} = 1 - \left(\frac{\beta}{\alpha + \beta}\right)^{1/n} = 1 - \left(\frac{1}{n+1}\right)^{1/n}$$

$$C = \frac{w}{2 \left[1 - \left(\frac{1}{n+1}\right)^{1/n}\right]}$$

$$A = \frac{h \cdot (n+1) \cdot 2^n \left[1 - \left(\frac{1}{n+1}\right)^{1/n}\right]^n}{n \cdot w}$$

- (4) 상기 수식적 모델링으로 Ra 값을 다시 계산하여 실측치 Ra 값과의 비교를 검증한다.

### 3. 윤활 해석

윤활의 가장 중요한 목적은 상대운동을 하는 기계요소에게 적절한 윤활제를 사용하여 마찰 및 마모를 감소시키고 표면손상을 방지하며 수명을 증대시키는데 있다.

윤활영역은 점착특성, 유막두께 및 표면거칠기 등에 의해 유체윤활, 탄성 유체윤활, 혼합윤활 및 경계윤활로 구분되는데, 여기서 기어가 갖는 윤활상태는 탄성유체윤활(EHL)로 윤활특성을 지배하는 요인은 재료의 기계적 특성, 상대운동 부위의 하중, 속도 등의 운전조건, 윤활제의 점도 및 조성, 표면과 윤활제의 화학적 작용 등 여러가지가 있으나, 이를 전부 이론적으로 취급하기는 어렵고 윤활제의 점도와 점도-압력지수 및 재료의 탄성계수, 운전조건으로 상대운동 부위에서의 하중과 속도, 기하학적 특성으로 접촉부위의 곡률반경과 표면거칠기를 고려하여 기어의 윤활을 해석하고 있다.<sup>(4)</sup> 단 윤활해석시 정상상태로 가정하였으며, 점착 과정중 특이점 LPSTC(Lowest Point of Single Tooth Contact), HPSTC(High Point of Single Tooth Contact), PP(Pitch Point)에 대해서만 수행하였다. 윤활 해석을 위한 계산은 다음과 같다.

- (1) 곡률 반경 계산

치형상에 있는 임의의 점에서의 곡률반경은 그 점에서 기초원에 접하는 점까지의 거리로 roll angle을  $\theta$ , 기초원 반경을  $r_b$ 라 하면 다음과 같다.

$$r = r_b \cdot \theta$$

- (2) 속도 계산

치형상의 각 특이점에서의 평균 굴림속도는 피니언과 기어의 접선방향의 속도  $V_{11}, V_{12}$ 로 부터 다음과 같이 구해진다.

$$U = \frac{V_{11} + V_{12}}{2}$$

- (3) 작용 하중

마찰력을 무시한 상태로, 접촉부위에서 단위길이당 받는 하중은 다음과 같다.

$$w = \frac{T}{r_p \cdot F \cos \phi}$$

$T$  : Torque  
 $r_p$  : 피치원 반경  
 $F$  : 치폭  
 $\phi$  : 압력각

- (4) 재료 및 윤활제의 물성치

기어재료의 물성치는 강의 탄성계수(E)와 포아송비( $\nu$ )를 사용하였으며, 윤활제는 SAE 90 오일의 40°C에서의 점도( $\eta_0$ )와 Barus 모델의 점도압력지수( $\alpha$ )를 사용하였다.

- (5) 무차원화 계수

윤활해석시의 무차원화 계수는 다음과 같다.

유막계수 (film parameter) :  $H = h/R$   
 속도계수 (speed parameter) :  $U = \eta_0 u/ER$   
 하중계수 (load parameter) :  $W = w/ER$   
 물성계수 (material parameter) :  $G = \alpha E$

여기서 R은 등가곡률 반경으로 접촉점에서 피니언의 곡률반경을  $r_1$ , 기어의 곡률반경을  $r_2$ 라 하면 다음과 같이 구해진다.

$$\frac{1}{R} = \frac{1}{r_1} + \frac{1}{r_2}$$

(6) 유막두께

선접촉시 평균유막두께(hc)와 최소유막두께(hm)은 Dowson 과 Higginson 이 제안한 다음식을 사용한다.

$$hm = 2.65 U^{0.7} G^{0.54} W^{-0.13}$$

$$hc = 1.95 (GU)^{0.11} W^{-1/11}$$

최종적으로 구한 유막두께(hm)를 복합표면 거칠기로 나눈 무차원 값( $\lambda$ )을 비유막 두께라 하며 윤활특성을 평가하는데 이용된다.<sup>(5)</sup>

$$\lambda = \frac{hm}{\sigma}$$

$\lambda \geq 2$  : 치의 접촉부위가 유막에 의하여 충분히 분리되어 윤활에 의한 표면손상이 발생하지 않는다.

$0.7 \leq \lambda < 2$  : 혼합윤활영역으로 접촉부위에서 일부는 유막에 의해 분리되고 일부는 금속끼리 접촉

$\lambda < 0.7$  : 경계 윤활상태에서 운전되고 있으며 하중과 온도가 마멸형상 및 마멸율을 지배하여 심한 마모 유발

#### 4. 실험장치 및 방법

##### 4-1. 실험장치의 구성

본 연구를 위해 설계 제작한 실험장치는 기어시험장치, 동력전달장치, 오일순환장치, 조작 및 측정장치 등으로 구성되어 있다. Fig.1 에서 보듯이와 같이 기어시험장치는 동력순환식으로 제작하였으며, 동력전달 장치로는 전달동력이 25HP, 최대회전수 2000 r.p.m 의 D.C Motor를 이용하여 3개의 증속이 가능하게 구성된 풀리(pulley)와 벨트(belt)에 의해 전달되게 하였다. 오일순환장치는 50ℓ의 오일을 저장할 수 있는 탱크(tank)에 열전대와 히터를 내장시켜 온도를 상승시킬 수 있게 하였으며, 일정하게 상승된 온도는 오일공급펌프에 의해 노즐형식의 분사구조로 기어회전방향 입구에 일정량이 공급된다. 시험기어를 거친오일은

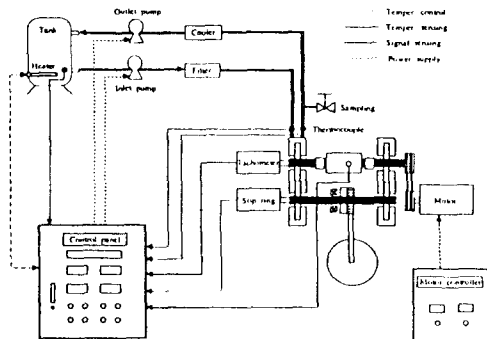


Fig.1 Schematic Diagram of Test Control

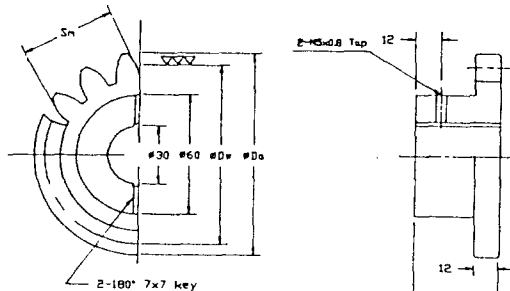
순환펌프에 의해 다시 탱크로 순환되는 구조로, 시험기어상자 입구에서 50  $\mu$ m 이상의 입자를 거를수 있는 필터(filter)를 부착하였고, 출구에는 시험기어를 거치면서 상승된 온도를 낮출 수 있도록 냉각장치(cooler)를 설치하였다. 장치의 조작 및 측정치의 표시는 Operating panel에서 실행 가능도록 하였다. 펌프의 조작과 윤활유의 온도 자동조정 장치 부착 및 시험기어 상자 입출구와 탱크내의 온도는 열전대 (K형 thermocouple)를 이용하여 측정하고, 회전수는 접촉식 타코메타(tachometer-ENA-11-60)를 이용하였으며, 회전체(test gear) 부위의 온도, 진동 및 응력변화 상태측정을 위해 슬립링(Slip ring-6118-111)을 설치하였다. 부하장치에 의해 가해진 하중은 Strain gauge type의 Torque transducer (TP-50KMB형)와 Digital indicator (TA-373 W/bridge box)에 의해 지시되며, 시험기어를 거친 오일을 분석하기 위해 출구부위에 오일을 채취할 수 있게 체크 밸브(check valve)를 설치하였다.

##### 4-2. 시험기어 및 실험

시험기어는 권위 스퍼어 기어로 모듈을 4.5, 치폭 12mm, 피니언과 기어의 잇수는 각각 19와 21개로 도면 및 제원은 Fig.2 에 나타내바와 같다. 시험기어의 재질은 크롬-몰리브덴 (SCM440) 강으로 표면거칠기 및 경도의 차이를 두고 3가지로 분류하여 제작하였으며, 그 비교치는 Table 2 에 나타내었다.

Table 2 Surface Conditions of Test Gear

구 분	Gear A	Gear B	Gear C
재 질	SCM440	SCM440	SCM440
표면 열처리	Non	Carburizing	Induction hardening
가공 방법	Ground	Hobbed	Hobbed
표면거칠기(Rms)	0.83 $\mu$ m	1.23 $\mu$ m	1.56 $\mu$ m
경 도 (HRC)	33	52	58
경 도 (JIS)	2급	4급	4~5급



No of teeth Pinion 19 Shifting coeff. x1 +0.1930  
 Gear 21 x2 +0.1602  
 Module 4.5 Pressure angle 20

Fig.2 A Drawing and Dimensions of Test Gear

기어 A의 경우 연삭기의 라이스하워 (Reishauer) 연삭반으로 가공하여 표면거칠기 및 정밀도를 높였으나, 열처리를 하지않은 상태로 치면을 약하게 하였으며, 기어 B,C의 경우 호빙머신(Hobbing machine-JMP2)으로 가공하고 표면의 경도를 높이기 위해 각각의 기어 침탄(carburizing) 및 고주파 표면 열처리를 하였다. 특히 가공 및 측정의 기준면인 내면의 가공은 원통연마로 정밀하게 가공을 하였다.

가공한 기어는 기어측정기(HAMAI 5LD)를 이용하여 피치오차, 치흔흔들림, 치형오차, 잇줄방향오차 값을 측정하여 기어등급을 분류하였다. 표면거칠기는 Talysulf 6 system을 이용하여 이 끝에서 1mm 정도 떨어진 부위의 이끝방향과 수직방향으로 측정하였고, 경도값 측정은 비커스 경도기(Flank Micro-Vickers)를 이용하였다. 실험에 사용된 윤활유는 첨가제를 넣지 않은 SAE 90으로 주입온도는 40°C ± 1 범위에서 2 l/min로 일정하게 공급하였으며, Running in 단계에서 무부하로 5 x 10<sup>6</sup>회전후, 3.8 Kg/mm 하중으로 5 x 10<sup>5</sup>회전시켜 기어의 표면 상태를 균일하게 한 후, 본 실험에서 19 Kg/mm 하중으로 일정하게 모든 실험을 실행하였다. 기어의 회전수는 2000r.p.m으로 운전하여 10<sup>7</sup>회전을 총 회전수로 결정 하였다. 본 실험을 위한 조건은 Table 3에 나타났다. 표면거칠기의 측정은 2 x 10<sup>6</sup>회전이 경과시 마다 분해하여 초기부터 6단계로 하였다.

Table 3 Test Conditions

구 분	조 건
윤 활 유	SAE 90
유 량 (l/min)	2
유 온 ( °C )	40
하 중 (Kg/mm)	19
속 도 (r.p.m)	2,000
총회전수 ( rev )	10 <sup>7</sup>

## 5. 결과 및 고찰

### (1) 표면거칠기의 변화

표면상태를 나타내는 변수값을 회전수에 따라 측정한 결과가 Fig.3~7까지 제시되어 있다. Fig.3을 보면 마찰방향의 Ra값은 전반적으로 감소하는 경향을 보이고, 가공방향의 Ra값은 거의 일정함을 알 수 있다. 마찰방향의 Ra값은 초기에 감소가 크게 나타나는데 이는 길들이기 과정에 기인된 것이다. Fig.4(a)의 마찰방향에서 Rms/Ra 값은 표면치리한 기어 B와 C는 거의 변화가 없는 것으로 나타났으나, 기어 A의 경우는 감소하다가 증가하는 것으로 나타났다. 이 이유는 기어 A의 경우 표면경도가 약하므로 소성변형에 의한 형상변화가 용이하기 때문이다. 파형을 고찰해 보면 A의 경우는 초기의 9차함수 형상이 3차함수 형상으로 변하여 골짜기가 완만해진 것을 알 수 있으며 B와 C는 6~7차 파형이 그대로 유지되어 골짜기의 형상변화가 없음을 알 수 있다. 가공방향으로는 Rms/Ra 값의 변화가 거의 없다가 기어 A의 경우 8x10<sup>6</sup>회전 이상에서 급격하게 증가되고 있는데 이는 마찰에 의해 깊은 골이 형성되기 때문이다. Fig.5(a) Relative skewness 변화는 초기에 돌기의 소멸로 급격히 감소하다가 그 이후에는 반복되는 것으로 나타났는데 이는 마찰에 의해 비교적 균일하게 돌기와 골이 변화되기 때문으로 사료된다. 가공방향에서의 값도 큰 변화를 보이지 않으나 기어 A의 경우 8x10<sup>6</sup>회전에서 크게 양의 값으로 증가되는데 이는 폭이 넓은 골이 형성되었기 때문이다. 돌기의 평균폭을 나타낸 Fig.6을 살펴보면 마찰방향에서는 돌기의 무더짐에 기인하여 증가하는 추세를 보이고 있으나, 가공방향에서는 변동이 심한 것으로 나타나는데, 이는 마찰에 의하여 돌기가 소멸, 생성을 반복하기

때문으로 판단된다. Fig.7의 돌기의 평균높이는 초기에 급격히 감소하다 일정하게 유지되는 경향으로 Ra값과 같은 경향을 보이고 있다.

### (2) 윤활해석 및 치면형상 분석

Running in후 측정한 시험기어들의 표면거칠기와 본 실험조건을 Dowson과 Higginson이 제안한 선 접촉시 유막두께 계산에 적용하여 LPSTC(Lowest Point of Single Tooth Contact), PP(Pitch Point), HPSTC(High Point of Single Tooth Contact)에서의 최소유막두께(minimum film thickness)와 평균유막두께(central film thickness 및 비유막두께(specific film thickness)를 계산한 결과는 Table 4 와 같다.

Table 4 Results of Film thickness ( μm )

Test Gear	Film Thickness	LPSTC	PP	HPSTC
Gear A	Minimum	1.32579	1.42065	1.36831
	Central	1.87551	2.00445	1.93204
	Specific	1.33925	1.43507	1.38220
Gear B	Minimum	1.32466	1.41943	1.36713
	Central	1.88039	2.00967	1.93707
	Specific	1.12865	1.20940	1.16485
Gear C	Minimum	1.32385	1.41857	1.36631
	Central	1.88384	2.01336	1.94063
	Specific	0.89217	0.95600	0.92078

Table 4에서 보는바와 같이 모든 시험기어의 비유막두께의 값이 0.7~2.0 구간안에 있으므로 본 실험 초기에는 일부 미소돌기가 접촉되면서 상대운동을 하는 혼합윤활상태였으며, 계속되는 실험에서의 표면거칠기 변화에서도 혼합윤활의 범위를 벗어나지 못하였다. 각각의 시험기어에 대한 시험전후의 치면 상태는 Photo 1에 보여주고 있다. 구름 운동 접촉을 하는 피치선 부근에서의

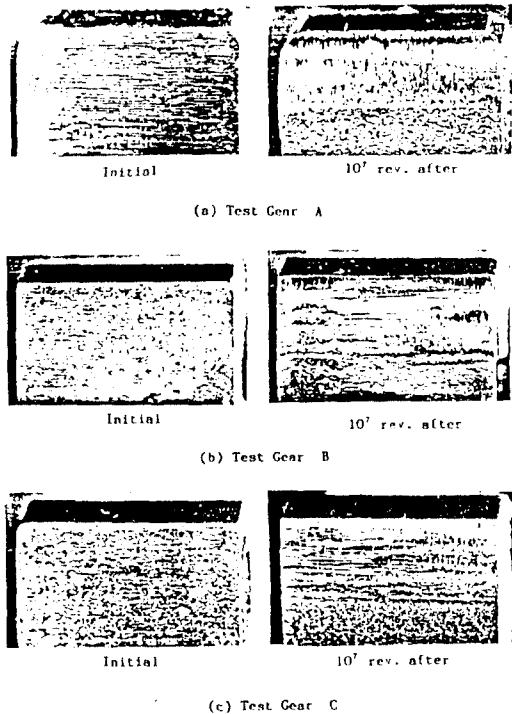


Photo 1 View of Tooth Surface

치표면과 미끄럼 마찰이 추가되는 이끝부위의 치표면 형상이 명확히 구별되어 나타나고 있음을 볼 수 있다. 표면을 열처리하지 않은 시험기어 A의 경우는 이끝부위로 갈수록 심한 rubbing wear와 스코어링 현상을 볼 수 있으며, B, C의 경우는 약간의 rubbing wear는 보이나 심하지 않은 상태이다. 특히 피치선 부근의 pitting 크기는 시험기어 A가 C에 4~6배정도 크며, B는 C에 비해 약간 큰 상태를 볼 수 있다.

이상의 결과로 부터 표면거칠기와 윤활상태는 기어A가 가장 양호하고 B, C 순으로 양호함을 볼 수 있었으나, pitting 및 rubbing wear 등의 마모성장 상태는 반대현상을 보이면서 표면경도의 크기순서와 같음을 알았다. 즉 혼합윤활영역에서는 일부 미세돌기들이 접촉을 하는 상태에서 상대운동을 하므로 치표면의 손상정도는 윤활상태보다 표면의 경한 정도에 의해 결정됨을 확인하였다.

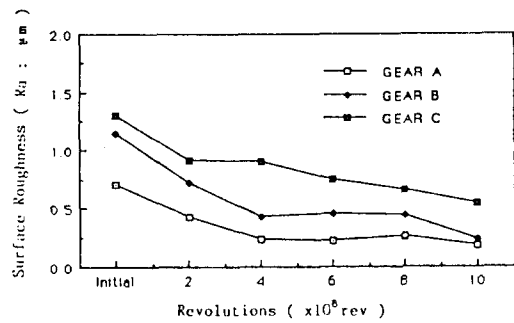
## 6. 결 론

기어의 면압강도 설계시 표면상태 계수에 포함되어 있는 표면거칠기의 변화와 기어의 치면상태를 알아보기 위하여 표면상태가 다른 3종류의 평기어를 이용하여 연구한 결과 다음과 같은 결론을 얻었다.

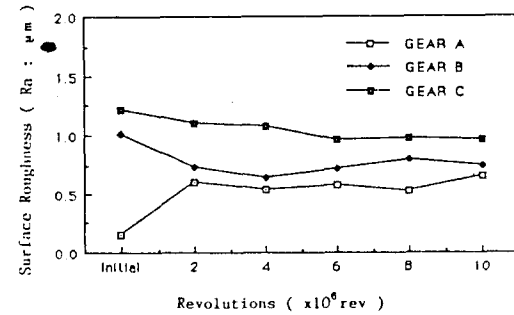
1. 기어의 열처리는 피로강도뿐만 아니라 표면거칠기 변화에 큰 영향을 미치고 있으며, 표면돌기는 소성변형을 받으며 소멸과 생성을 반복한다.
2. 이 끝 부분의 표면거칠기는 초기 길들이기 과정에서 심하게 변화하나 그 이후에는 마찰방향은 일정하게 유지되며, 가공방향은 스코어링(scoring) 발생에 따라 거칠어진다. 따라서 길들이기 과정은 문지를 마멸(rubbing wear)에 직접적인 영향을 미친다.

## 참고문헌

1. AGMA 210.02, "Surface Durability (Pitting) Formulas for Spur Gear Teeth", 1965.
2. 根本良三 外3人, "歯面 あらさと潤滑油の粘度が平歯車のスコ어링強度に及ぼす影響", 日本機械學會論文集(C編), 52巻, 483號, (昭61-11)
3. 中西 勉 外2人, "高硬度齒車の負荷能力に関する研究(歯面強度に及ぼす粗さの影響)", 日本機械學會論文集(C編), 52巻, 477號, (昭61-5)
4. K. Holmberg, "A Survey of Applications of EHL on Machine Elements", Tribology International June 1982, pp.123~131
5. E.J. Wellauer and G.A. Holloway, "Application of EHD oil film theory to industrial gear drives", ASME Trans, J of Engineering for Industry, May 1976, pp.626~634.
6. Darle W. Dudley, "Handbook of Practical Gear Design", 1984, McGraw-Hill
7. Nicholasp. Chironis, "Gear Design and Application", 1967, McGraw-Hill.
8. M.J. Neale, "Tribology Handbook", 1973, E4.
9. Gitin M. Maitra "Handbook of Gear Design", 1985.
10. J.S. Bendat and A.G. Pierso, "Engineering Applications", 1980, John Wiley & Sons.
11. 권오관, 이성철, "기어 고급화를 위한 종합기술개발(1차년도)", 한국과학기술연구원, NG03(3)-3879-2, June, 1990.
12. 久保愛三, "齒車 運轉試驗機" 潤滑, 第29巻, 第8號, 1984. pp556~560.

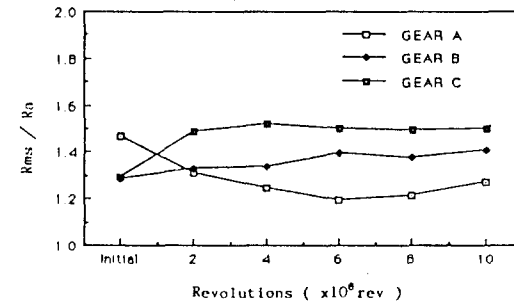


(a) Sliding direction

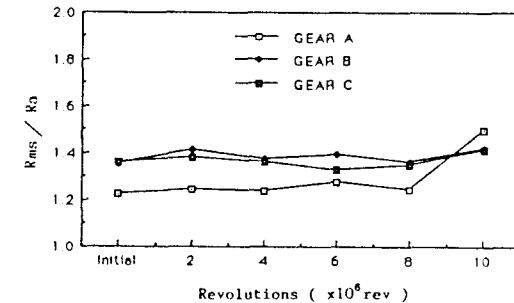


(b) Machining direction

Fig. 3 Roughness Average of the Revolutions

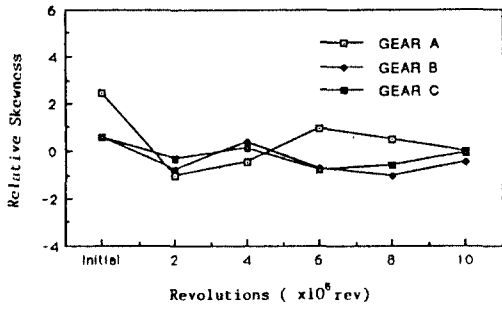


(a) Sliding direction

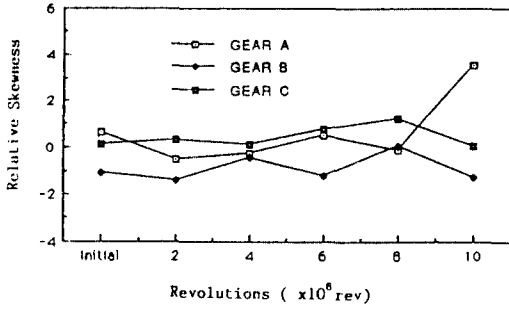


(b) Machining direction

Fig. 4 Rms/Ra of the Revolutions

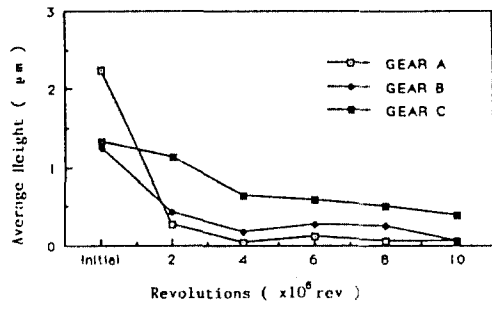


(a) Sliding direction

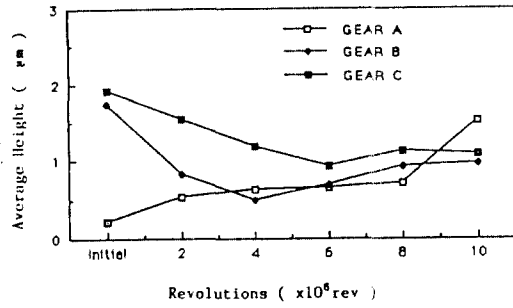


(b) Machining direction

Fig. 5 Relative Skewness of the Revolutions

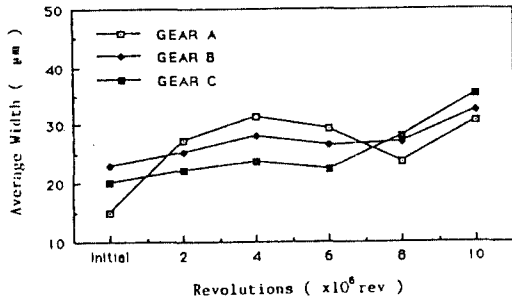


(a) Sliding direction

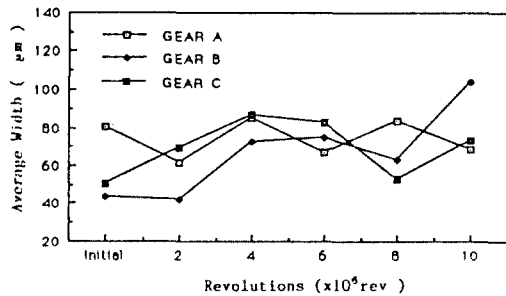


(b) Machining direction

Fig. 7 Average Height of the Revolutions



(a) Sliding direction



(b) Machining direction

Fig. 6 Average Width of the Revolutions